Bulletin mensuel

Institut de physique du globe de Paris
Observatoire volcanologique du Piton de la Fournaise

ISSN 2610 – 5101

Mai 2026

PITON DE LA FOURNAISE *(VNUM #233020)*
Latitude : *21.244°S*
Longitude : *55.708°E*
Altitude sommet : *2632 m*

Le Piton de la Fournaise est un volcan basaltique de point chaud situé au sud-est de l'Île de la Réunion (océan Indien). Volcan actif, son histoire éruptive a débuté il y a environ 500 000 ans. Il produit des laves fluides à l'origine d'éruptions majoritairement effusives (avec émissions de fontaines et de coulées de lave) dont la fréquence est en moyenne de deux éruptions par an depuis 1998. Plus rarement, des éruptions explosives (avec émissions de blocs recouvrant la zone sommitale et émissions de cendres pouvant se disperser sur de grandes distances) ont eu lieu par le passé avec une récurrence centennale.
La majorité des éruptions récentes sont limitées à la caldeira de l'Enclos Fouqué, à l'exception de quelques éruptions « hors Enclos » qui ne représentent que 3% des éruptions totales sur les 300 dernières années (1977, 1986, 1998 pour les plus récentes). Ce type d'éruptions « hors Enclos » peut potentiellement représenter une menace pour la population.
Depuis fin 1979, l'activité du Piton de la Fournaise est surveillée et suivie par l'Observatoire Volcanologique du Piton de la Fournaise (OVPF), une station de l'Institut de Physique du Globe de Paris (IPGP).

Niveau d'alerte : Vigilance
(depuis le 7 mai 2026)

12 mars (10h) au 5 mai (6h) 2026 : Alerte 2-2
5 mai (6h) au 7 mai 2026 : Sauvegarde

(Voir tableau en annexe)

Institut de physique du globe
de Paris, OVPF
14 RN3 – Km 27
97418 La Plaine des Cafres
La Réunion

www.ipgp.fr/ovpf
facebook : ObsVolcanoPitonFournaise
bluesky : @ovpf.bsky.social
youtube : Chaîne IPGP

A. Activité du Piton de la Fournaise

Sismicité

Le réseau sismologique de l'Observatoire volcanologique du Piton de la Fournaise est composé de 41 stations sismologiques, représentant un total de 109 voies échantillonnées à 100 Hz transmises en temps réel à l'OVPF. Ce réseau comporte 32 stations large bande à 3 composantes, 2 stations 3 composantes courte période et 7 stations analogiques à 1 composante verticale. ***Suite à l'éruption débutée le 13 février 2026, 2 stations sismologiques (stations PVD et GPS) menacées par les coulées ont dû être désinstallées en urgence par les équipes de l'OVPF avec le concours de la Section Aérienne de Gendarmerie et du Peloton de Gendarmerie de Haute Montagne.***
Les localisations des séismes sont effectuées à partir des temps d'arrivée des ondes P et S, pointés manuellement dans le logiciel SeisComP (www.seiscomp.de) à partir des détections automatiques ou visuelles. Les séismes sont ensuite localisés à l'aide du logiciel NonLinLoc (Lomax et al., 2000), en utilisant un modèle de vitesse tridimensionnel. Ce modèle prend en compte un gradient de vitesse suivant la topographie et suppose un rapport VP/VS constant de 1,7. La vitesse des ondes P est de 3,3 km/s à la surface libre et augmente linéairement avec la profondeur selon un gradient de 0,3 s^{-1}.

Observations

Au mois de mai 2026, l'OVPF-IPGP a enregistré au niveau du massif du Piton de la Fournaise au total :

- 29 séismes volcano-tectoniques superficiels (de 0,2 à 1,5 km au-dessus du niveau de la mer) en majorité sous les cratères sommitaux Bory et Dolomieu ;
- 150 séismes profonds (sous le niveau de la mer) ;
- 14 séismes de type longue-période ;
- 695 éboulements ou effondrements.

Le mois de mai 2026 a été marqué **majoritairement par une sismicité profonde** (Figures 1 et 2), avec 150 séismes volcano-tectoniques localisés entre 6 et 8 km de profondeur sous le niveau de la mer, à l'ouest du sommet du Piton de la Fournaise (Figure 2). L'évolution du taux de sismicité issue de la main courante (pointé manuel, Figure 1 milieu) semble varier plus fortement que celle obtenue à partir des détections automatiques par template matching (Figure 1 bas), ce qui paraît lié à un biais observationnel. On note notamment une corrélation assez claire entre l'opérateur effectuant le dépouillement des données et le nombre d'événements détectés dans la main courante. Ce biais s'explique par le fait que les événements profonds sont difficiles à identifier et que la classification des signaux peut être relativement subjective pour ces séismes de très faible magnitude.

Ces événements profonds correspondent probablement à la poursuite de la mise en pression du système magmatique profond du Piton de la Fournaise.

Seuls **29 séismes volcano-tectoniques superficiels ont été détectés**, avec un seul événement localisable sous le cratère Dolomieu (Figure 2).

De nombreux éboulements ont également été observés (695 événements). Comme c'est habituellement le cas, ces éboulements sont en partie localisés au niveau du sommet du Piton de la Fournaise et du cassé de la Rivière de l'Est, mais également au niveau des cônes éruptifs et des coulées récemment mises en place sur le flanc est-sud-est du Piton de la Fournaise. Ces événements correspondent vraisemblablement à des effondrements de cônes et de tunnels de lave. Les signaux classés comme longue période sont également en grande partie localisés au niveau des anciens cônes éruptifs. Le caractère longue période de ces signaux peut résulter soit d'effets de propagation des ondes élastiques dans des milieux peu consolidés (e.g., Bean et al., 2008), soit de changements dans le système hydrothermal à proximité du site éruptif (Zecevic et al., 2013).

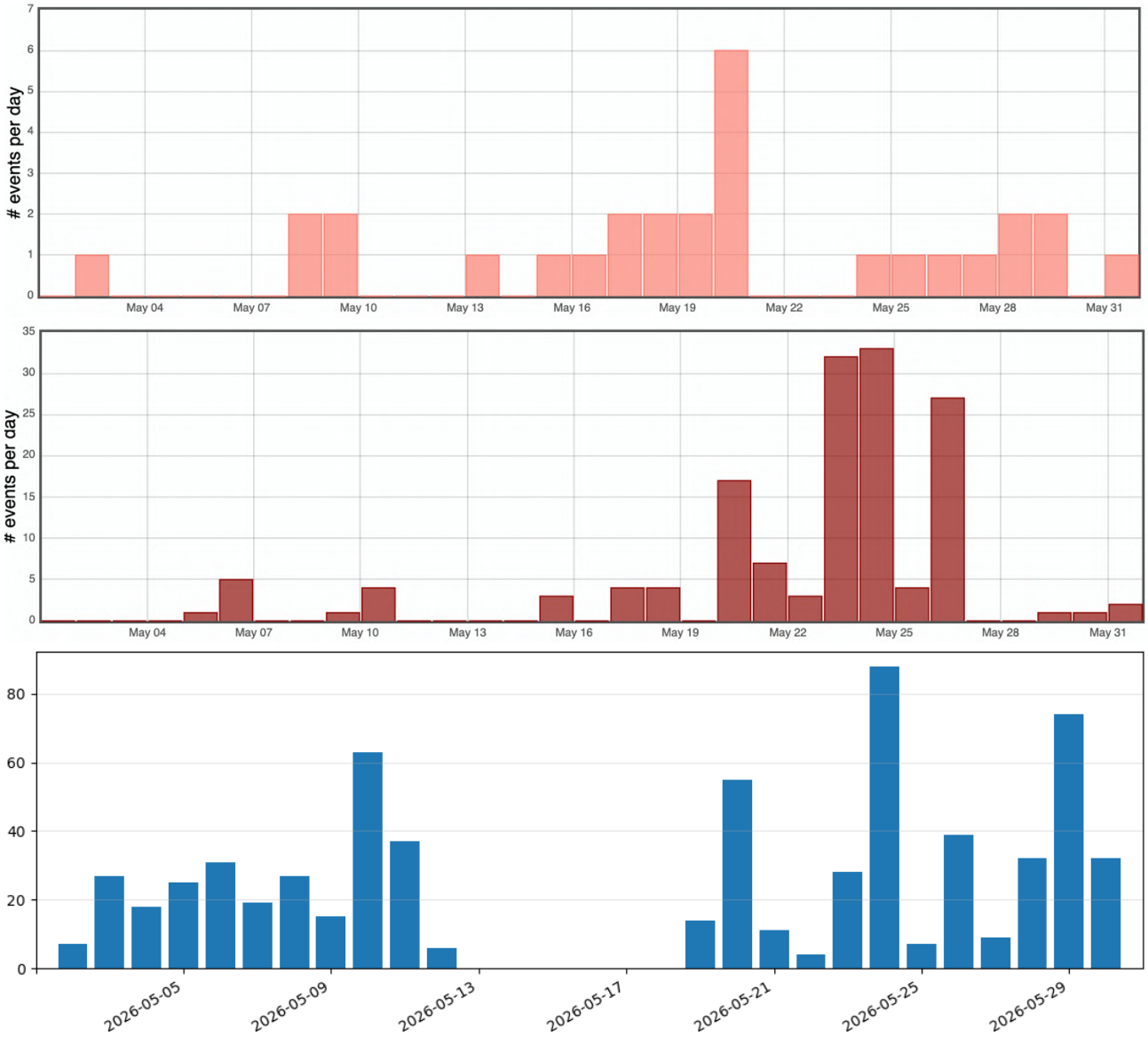

Figure 1 : Histogramme représentant le nombre de séismes volcano-tectoniques superficiels (en haut), volcano-tectoniques profonds issus de la main courante (pointé manuel, au milieu) et issus des détections automatiques par template matching par jour enregistrés en mai 2026 (©WebObs/OVPF-IPGP).

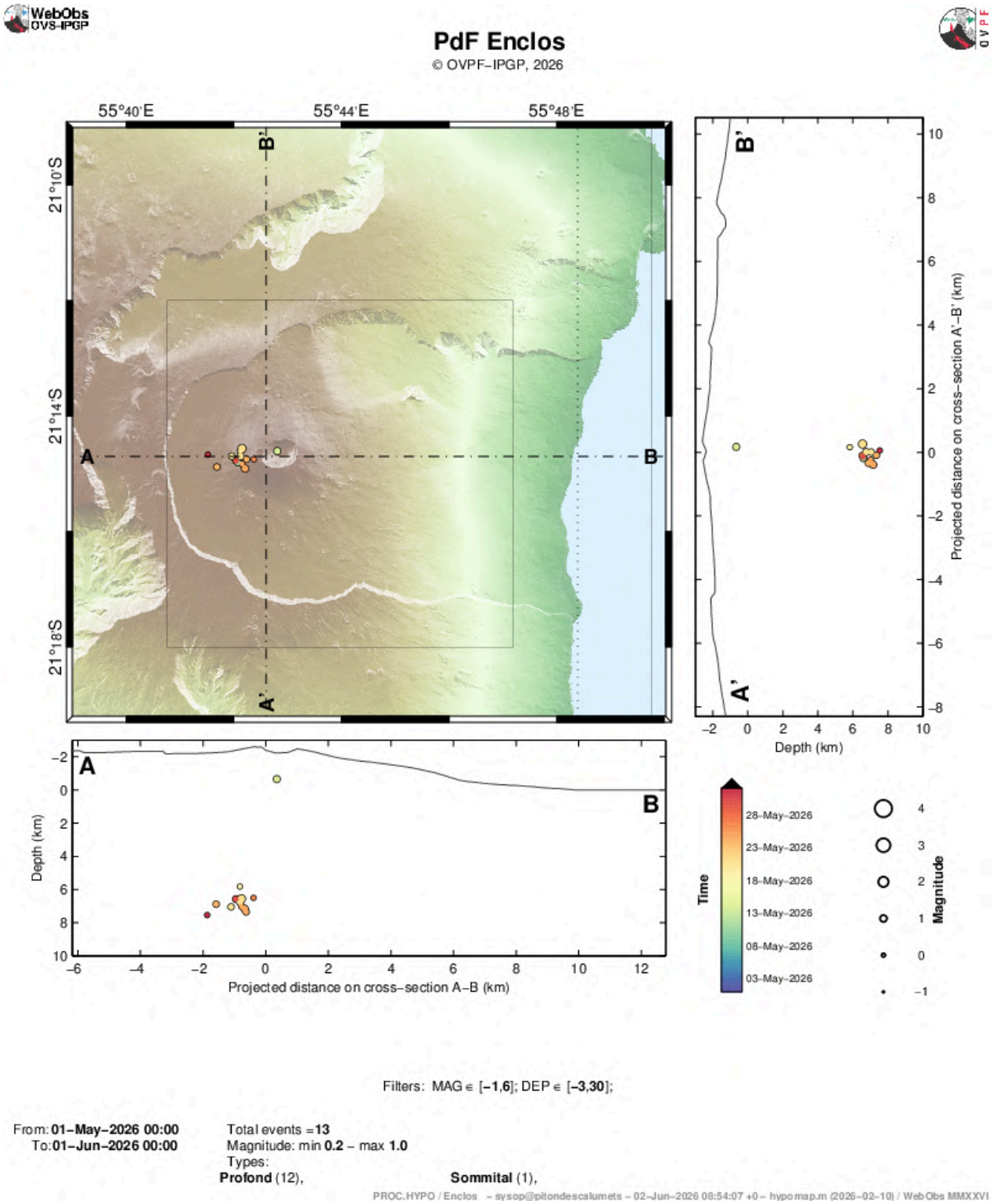

Figure 2 : Sismicité sous le Piton de la Fournaise au mois de mai 2026. Carte de localisation (épicentres) et coupes nord-sud et est-ouest (montrant la localisation en profondeur, hypocentres) des séismes enregistrés et localisés manuellement par l'OVPF-IPGP. Seuls les séismes localisables sont représentés sur la carte (©WebObs/OVPF-IPGP).

Déformation

Le réseau permanent de surveillance de la déformation du Piton de la Fournaise comprend actuellement :
- 27 stations GNSS (Global Navigation Satellite System, système global de positionnement par satellite),
- 11 couples d'inclinomètres sur 10 sites,
- 3 extensomètres 3 composantes.
Une fois les données brutes rapatriées (toutes les 15 min ou 1 fois par jour en fonction des stations), celles-ci sont automatiquement traitées par le logiciel GipsyX/JPL (Bertiger et al., 2020 ; Murphy et al., 2024) pour obtenir des valeurs de positions.
Ces calculs intègrent les nouveaux produits du JPL dans l'ITRF2020 (Altamimi et al., 2023, Rebischung et al., 2024). Les coordonnées calculées sont exprimées par rapport au Centre de Figure (CF), un concept plus adapté à des chantiers sur des petites zones.

Observations

Suite à l'arrêt de l'éruption le 12 avril 2026, une faible inflation de l'édifice a été de nouveau enregistrée, avec un ralentissement visible à partir de la fin avril (Figures 3 et 4). Depuis la fin mai, cette inflation semble avoir cessé. Ce paramètre sera à confirmer le mois prochain.

Les cartes de contraintes montrent qu'à partir de début de mai l'élongation est excentrée vers l'ouest (Figure 5).

Modélisation numérique

La modélisation des sources de déformation montre (Figure 6) :
- entre le 26 avril et le 10 mai 2026 : deux sources en inflation, l'une située à l'ouest du cratère du Bory vers 11 km sous le niveau de la mer, et l'autre plus superficielle aux alentours du niveau de la mer sous la bordure ouest du cratère Dolomieu.
- entre le 10 et le 24 mai 2026 : une source en inflation située à 600 m au-dessus du niveau de la mer sous la bordure ouest du cratère Dolomieu.

Ces différentes sources, bien qu'associées à des variations de volume relativement modérées, traduisent certainement la réalimentation du système magmatique superficiel par un magma plus profond.

Institut de physique du globe
de Paris, OVPF
14 RN3 – Km 27
97418 La Plaine des Cafres
La Réunion

www.ipgp.fr/ovpf
facebook : ObsVolcanoPitonFournaise
bluesky : @ovpf.bsky.social
youtube : Chaîne IPGP

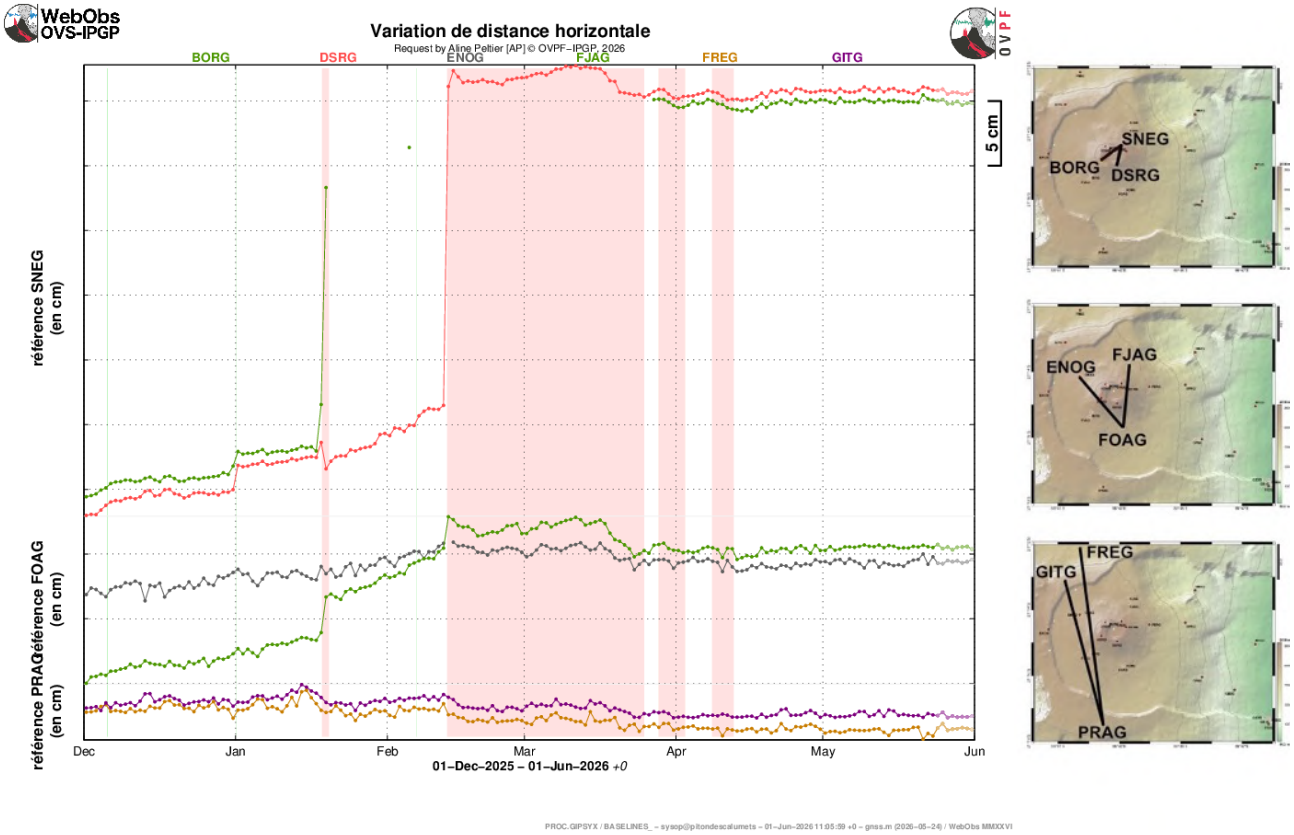

Figure 3 : Illustration de la déformation sur les six derniers mois (les barres rouges et vertes représentent respectivement les périodes éruptives et intrusives). Sont ici représentées les variations de distance horizontale entre couples de récepteurs GNSS traversant l'édifice du Piton de la Fournaise, au sommet (référence SNEG ; en haut), à la base du cône terminal (référence FOAG ; au milieu) et en champ lointain (référence PRAG ; en bas). La localisation des stations GNSS est indiquée à droite. Une augmentation est synonyme d'élongation et donc de gonflement du volcan ; inversement une diminution indique une contraction et donc un dégonflement du volcan (©WebObs/OVPF-IPGP).

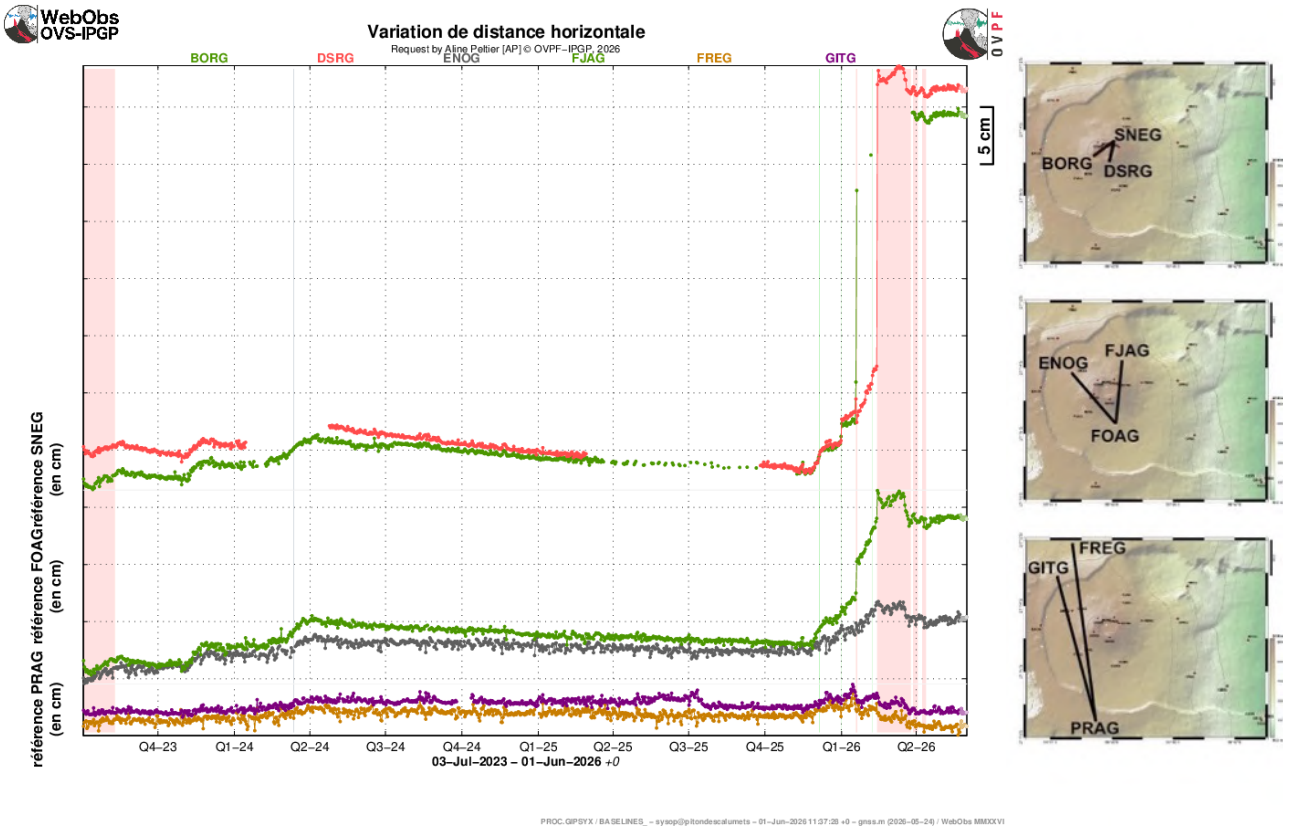

Figure 4 : Illustration de la déformation depuis l'éruption de juillet-août 2023 (les barres rouges et vertes représentent respectivement les périodes éruptives et intrusives). Sont ici représentées les variations de distance horizontale entre couples de récepteurs GNSS traversant l'édifice du Piton de la Fournaise, au sommet (référence SNEG ; en haut), à la base du cône terminal (référence FOAG ; au milieu) et en champ lointain (référence PRAG ; en bas). La localisation des stations GNSS est indiquée à droite. Une augmentation est synonyme d'élongation et donc de gonflement du volcan ; inversement une diminution indique une contraction et donc un dégonflement du volcan (©WebObs/OVPF-IPGP).

** Glossaire : Les signaux GNSS sommitaux sont le témoin de l'influence de sources de pression superficielles à l'aplomb du volcan alors que les signaux GNSS lointains sont le témoin de l'influence de sources de pression profondes à l'aplomb du volcan. Une inflation est souvent synonyme d'une mise en pression ; à l'inverse une déflation est souvent synonyme d'une dépressurisation.*

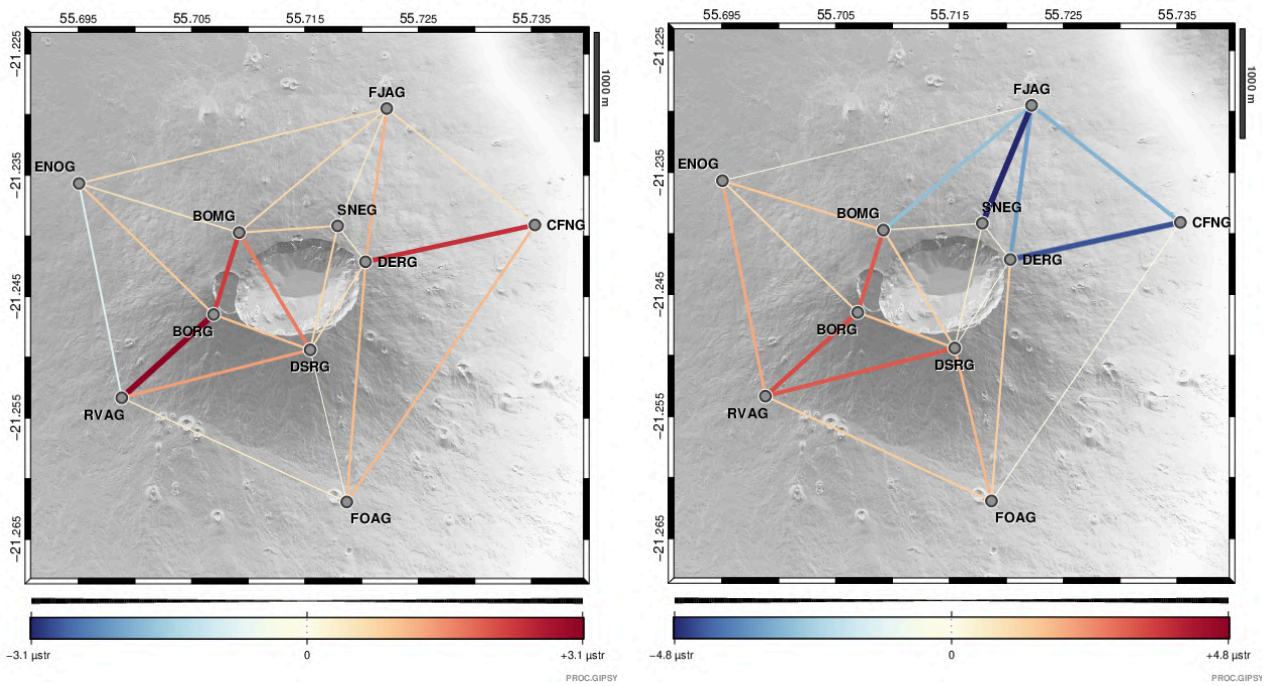

Figure 5 : Cartes de contraintes linéaires 3D (en µstrain, soit une déformation de 1 millionième) pour (à gauche) la période du 26 avril au 10 mai 2026 et (à droite) la période du 10 au 24 mai 2026. L'épaisseur et la couleur des lignes de base indiquent l'intensité de la contrainte soit en compression (bleu), soit en extension (rouge) (©WebObs/OVPF-IPGP, topographie ©IGN LIDAR 2025).

Institut de physique du globe
de Paris, OVPF
14 RN3 – Km 27
97418 La Plaine des Cafres
La Réunion

www.ipgp.fr/ovpf
facebook : ObsVolcanoPitonFournaise
bluesky : @ovpf.bsky.social
youtube : Chaîne IPGP

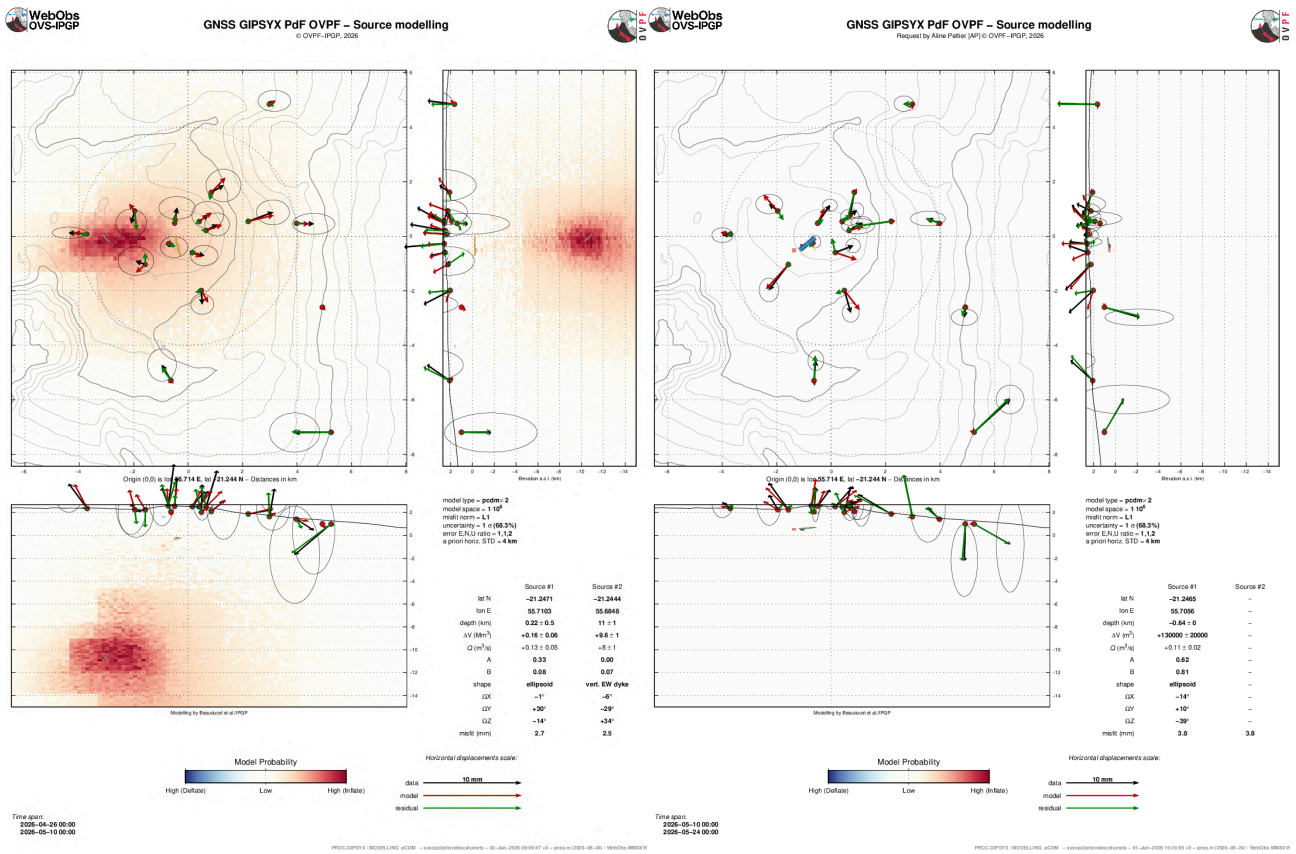

Figure 6 : Modélisation des sources de pression (inversion bayésienne de sources de déformation pCDM, Nikkhoo et al., 2016) liées (à gauche) à la période du 26 avril au 10 mai 2026 et (à droite) à la période du 10 au 24 mai 2026. Les vecteurs en noir représentent les données observées, les vecteurs en rouge les vecteurs modélisés et les vecteurs en vert les résidus entre vecteurs observés et modélisés. Les caractéristiques de chaque source (primaire #1 et secondaire #2) sont indiquées en bas à droite (©WebObs/OVPF-IPGP).

Géochimie des gaz

Le réseau géochimique permanent de suivi des émissions gazeuses du Piton de la Fournaise comprend actuellement :
- 3 stations MAX-DOAS mesurant l'épaisseur optique de SO_2 (ppm.m) dans l'atmosphère. Les mesures sont réalisées toutes les 10 à 15 min en journée lorsque les conditions météorologiques sont favorables (Arellano et al., 2020).
- 1 station MultiGaS mesurant les excès de H_2O, CO_2, SO_2 et H_2S par rapport à l'atmosphère, avec une mesure toutes les 6 heures.
- 4 stations de mesure du flux de CO_2 par le sol. Sur ces stations, les paramètres météorologiques (température, pression, humidité, vitesse et direction du vent) sont également enregistrés, afin de corriger les signaux des perturbations environnementales (Boudoire, 2017 ; Bénard et al., 2023). Les mesures sont réalisées toutes les heures.

Concentration en CO_2 dans le sol

Depuis 2025, les émissions moyennes de CO_2 du sol ont tendance à rester stables sur les stations les plus distales (BLEN, PNRN) et à augmenter sur les stations les plus proches du sommet (PCNR, GITN, voir localisation sur la Figure 7). Cela marque une évolution nette par rapport à la tendance à la baisse à long terme enregistrée entre 2021 et 2025 sur ces sites (Figure 7).

En 2026, la plus forte augmentation des émissions de CO_2 du sol a été enregistrée pendant l'éruption de février-avril sur les stations PCRN et GITN.

Les stations PCRN et GITN enregistrent des flux élevés depuis la fin de l'éruption de février-avril 2026.

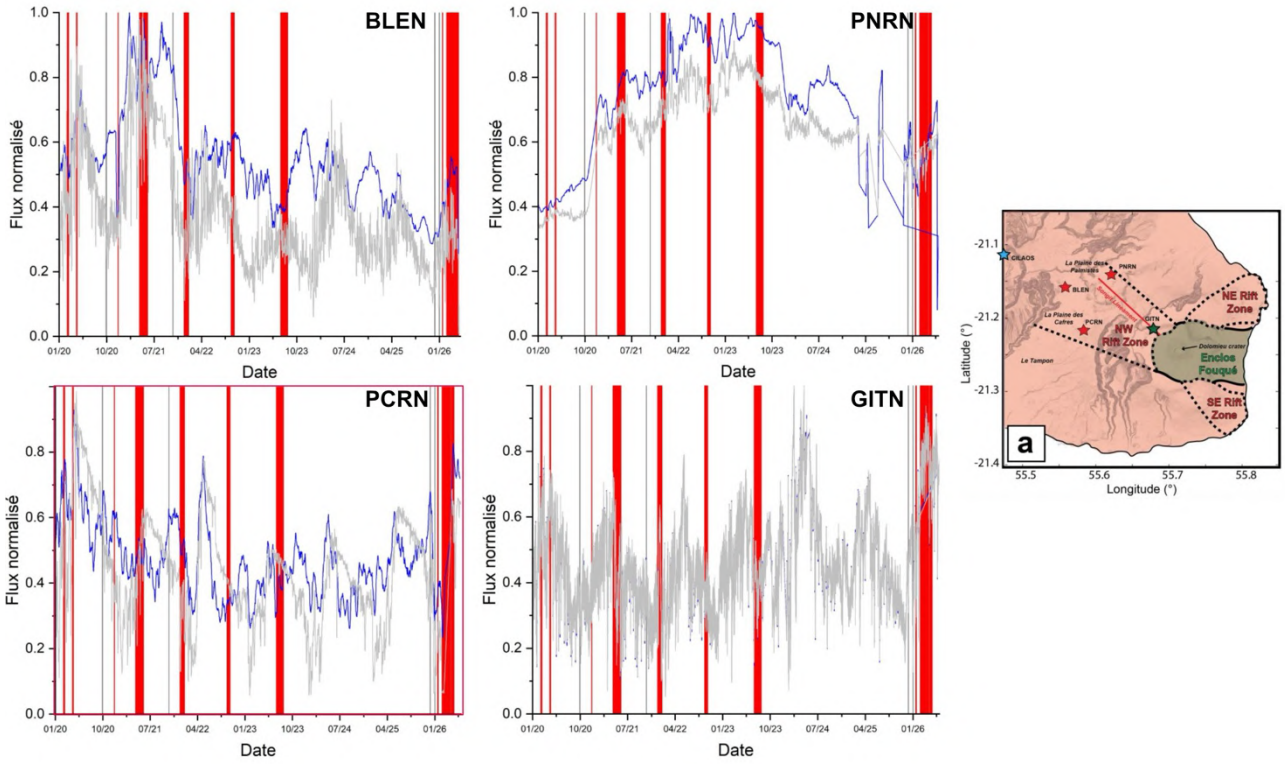

Figure 7 : Émissions de CO_2 dans le sol normalisées (données brutes en gris), corrigées de l'influence environnementale à court terme (modèle OVPF ; moyennées sur une fenêtre glissante de 15 jours, en bleu) sur les 4 stations CO_2 de l'OVPF (leur localisation est indiquée sur la carte à droite). Les périodes éruptives sont représentées par des barres verticales en rouge et les périodes intrusives par des barres verticales en gris (©OVPF-IPGP-OSUL).

** Glossaire : Le CO_2 étant le premier gaz à être libéré du magma à grande profondeur (depuis le manteau), sa détection en champ lointain peut être synonyme d'une remontée profonde de magma. Son évolution en champ proche peut être liée au transfert magmatique dans le système d'alimentation plus superficiel (environ <2-4 km sous la surface).*

Composition des fumerolles sommitales par méthode MultiGas

Depuis la fin de l'éruption de février - avril 2026, seules de faibles concentrations en SO_2 et H_2S (< 0,1 ppmv) ont été enregistrées dans l'atmosphère au sommet du volcan (Figure 8), ce qui correspond aux valeurs de fond habituellement observées pendant les phases de repos du volcan.
Ces valeurs sont significativement plus faibles que celles observées avant et au cours de la dernière éruption.

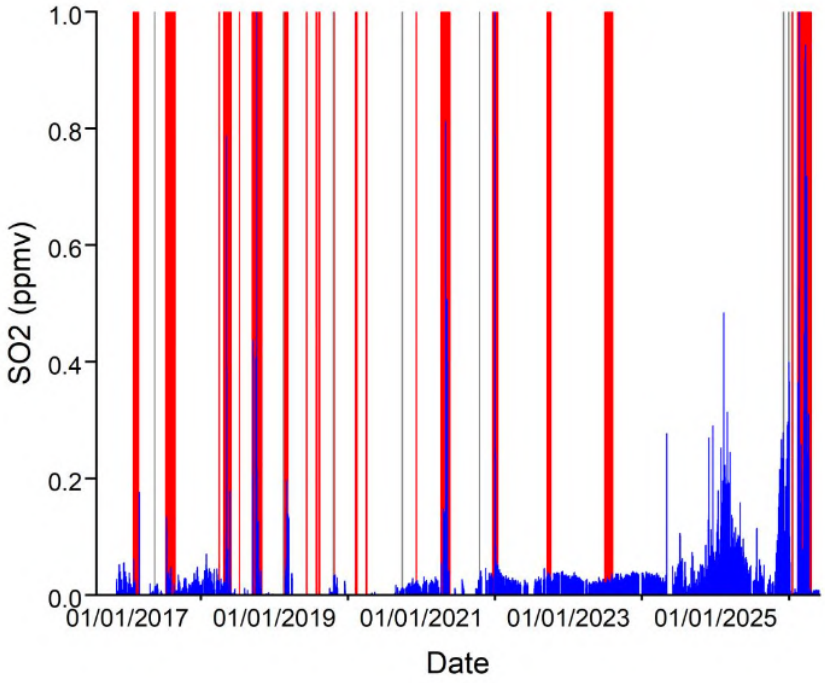

Figure 8 : Concentrations brutes (en bleu) en SO_2 dans l'atmosphère au sommet du Piton de la Fournaise (station MultiGaS). Barres rouges : éruptions ; barres grises : intrusions (©OVPF-IPGP-OSUL).

** Glossaire : La méthode MultiGaS permet de mesurer les concentrations en H_2O, H_2S, SO_2 et CO_2 dans l'atmosphère au sommet du Piton de la Fournaise. Le transfert magmatique dans le système d'alimentation du Piton de la Fournaise peut se traduire en une augmentation des concentrations en SO_2 et du rapport C/S (carbone/soufre).*

Flux de SO_2 dans l'air dans l'Enclos Fouqué par méthode DOAS

Les flux de SO_2 dans l'air sont restés faibles, proches ou en-dessous du seuil de détection.

** Glossaire : Lors des phases de repos du volcan, le flux de SO_2 au Piton de la Fournaise est en-dessous du seuil de détection ; le flux de SO_2 peut augmenter lors du transfert magmatique dans le système d'alimentation plus superficiel ; pendant les éruptions, il est directement proportionnel à la quantité de lave émise à la surface.*

Institut de physique du globe de Paris, OVPF
14 RN3 – Km 27
97418 La Plaine des Cafres
La Réunion

www.ipgp.fr/ovpf
facebook : ObsVolcanoPitonFournaise
bluesky : @ovpf.bsky.social
youtube : Chaîne IPGP

Phénoménologie

Aucune activité éruptive au cours du mois de mai 2026.

Bilan

Suite à la fin de la dernière éruption le 12 avril 2026, une mise en pression du système magmatique profond sous le Piton de la Fournaise était toujours observée en mai 2026 avec l'enregistrement d'une sismicité profonde et d'une inflation de l'édifice.

Institut de physique du globe
de Paris, OVPF
14 RN3 – Km 27
97418 La Plaine des Cafres
La Réunion

www.ipgp.fr/ovpf
facebook : ObsVolcanoPitonFournaise
bluesky : @ovpf.bsky.social
youtube : Chaîne IPGP

B. Activité sismique locale et régionale

Sismicité locale et régionale

Au mois de mai 2026, l'OVPF-IPGP a enregistré au niveau local et régional :

- 48 séismes locaux (dans un rayon de 200 km de l'île, majoritairement sous l'île, Figures 9 et 10) ;
- 0 séisme régional (dans la zone océan Indien).

Au mois de **mai 2026**, l'OVPF-IPGP a enregistré **48 séismes locaux**, localisés majoritairement sous le massif de la Roche Écrite, mais également dans d'autres régions du nord de l'île (Figure 10).
On note notamment une petite séquence d'une dizaine de séismes observée le 15 mai au niveau des Makes (à l'ouest du cirque de Cilaos), à environ 8 km de profondeur sous le niveau de la mer. Cette séquence ressemble davantage à un essaim de séismes, de magnitude voisine de Md ≈ 1, qu'à une séquence de type mainshock-aftershock, caractérisée par un événement principal de magnitude plus importante suivi d'une série de répliques plus faibles. Cette interprétation reste toutefois incertaine étant donné le faible nombre de séismes observés, leur faible magnitude ainsi que la couverture relativement limitée du réseau sismologique de l'OVPF-IPGP dans cette zone.

La majorité de ces séismes locaux sont de **faible magnitude** (< 1) et sont difficiles à localiser avec précision. Ils sont localisés entre **10 km et 25 km de profondeur** dans la **lithosphère océanique** sur laquelle s'est formé l'édifice volcanique à l'origine de La Réunion.

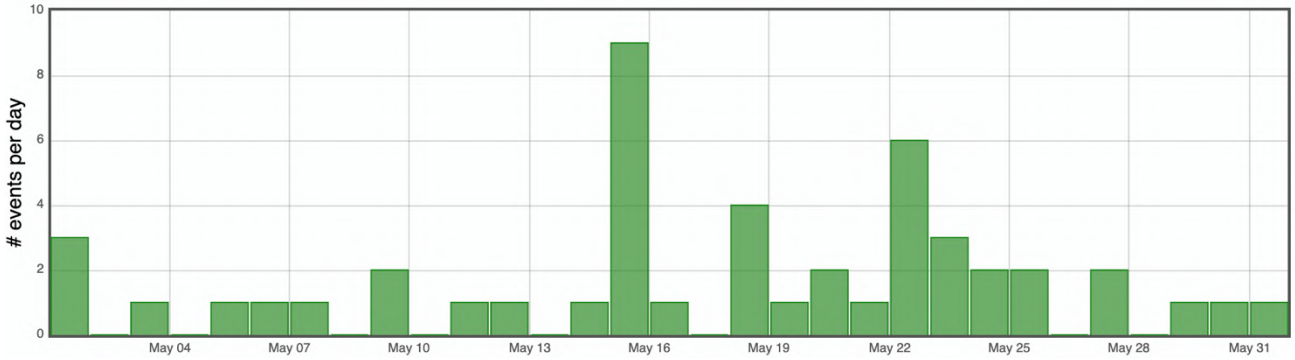

Figure 9 : Histogramme représentant le nombre de séismes locaux (Île de La Réunion) par jour enregistrés en mai 2026 (©WebObs/OVPF-IPGP).

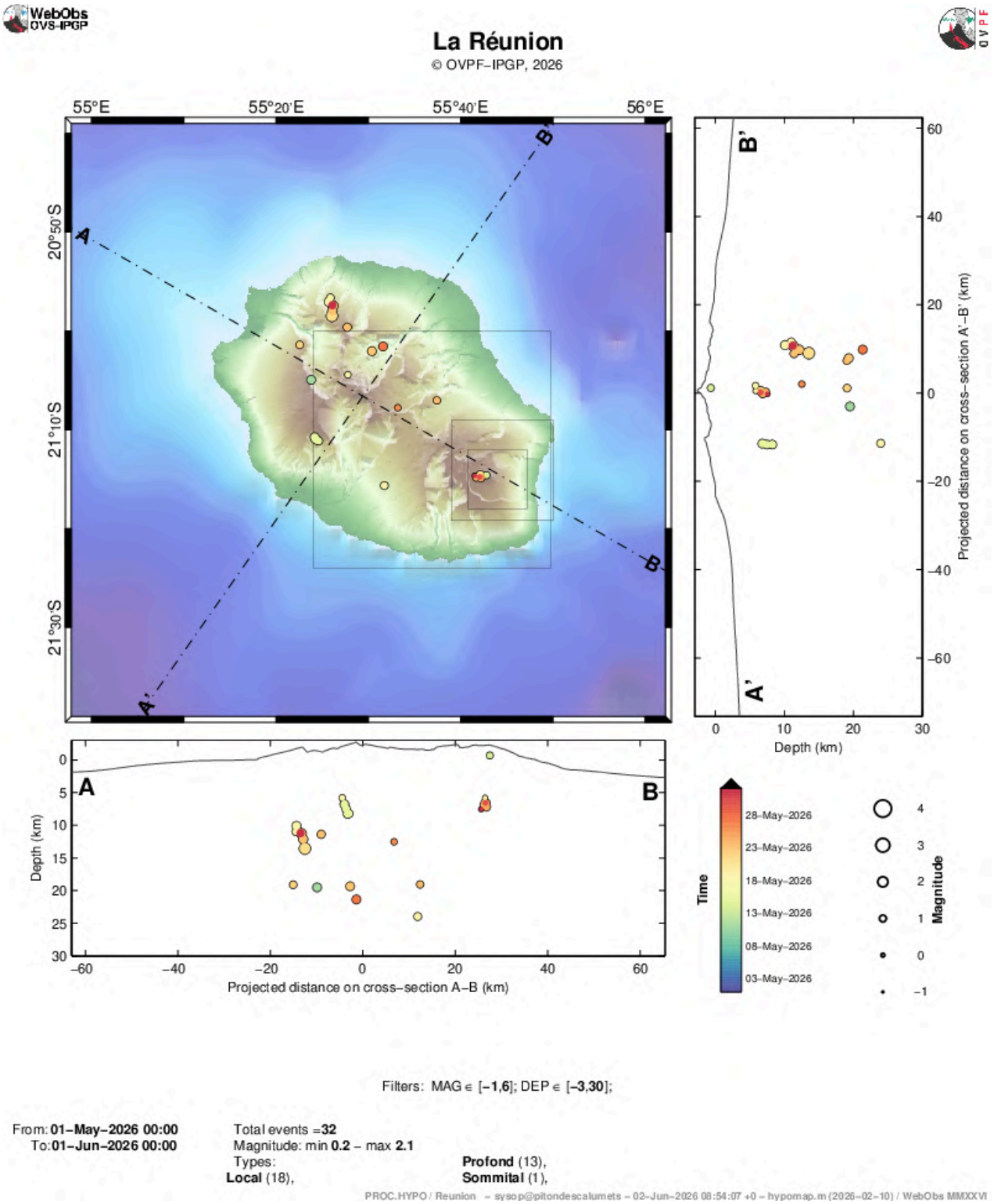

Figure 10 : Sismicité sous La Réunion au mois de mai 2026. Carte de localisation (épicentres) et coupes nord-ouest - sud-est et sud-ouest – nord-est (montrant la localisation en profondeur, hypocentres) des séismes enregistrés et localisés par l'OVPF-IPGP. Seuls les séismes localisables ont été représentés sur la carte (©WebObs/OVPF-IPGP).

Institut de physique du globe
de Paris, OVPF
14 RN3 – Km 27
97418 La Plaine des Cafres
La Réunion

www.ipgp.fr/ovpf
facebook : ObsVolcanoPitonFournaise
bluesky : @ovpf.bsky.social
youtube : Chaîne IPGP

Activité sismo-volcanique à Mayotte

Le REseau de surveillance VOlcanologique et SIsmologique de MAyotte (REVOSIMA) est la structure en charge de la surveillance de l'activité volcanique et sismique de la région de Mayotte. Ce réseau est opéré par l'IPGP avec le soutien du BRGM et est sous la responsabilité de l'observatoire volcanologique du Piton de la Fournaise (OVPF-IPGP) et de la direction régionale du BRGM à Mayotte. Ce réseau de surveillance, financé par l'État (Ministère de l'enseignement supérieur et de la recherche, Ministère de la transition écologique, Ministère de l'intérieur, Ministère des Outre-mer), bénéficie de l'appui d'un large consortium de partenaires scientifiques français: IPGP et Université Paris Cité, BRGM, IFREMER, CNRS, BCSF-RéNaSS, ITES et Université de Strasbourg, IGN, ENS, SHOM, TAAF, CNES, Université Grenoble Alpes et ISTerre, Université Clermont Auvergne, LMV et OPGC, Université de La Réunion, Université Paul Sabatier, Toulouse et GET-OMP, Université de la Rochelle, Université de Bretagne Occidentale, IRD et collaborateurs.

L'activité sismo-volcanique à Mayotte pour le mois est présentée dans le bulletin mensuel du REVOSIMA.

Toutes les informations concernant le REVOSIMA et l'activité à Mayotte sont à retrouver sur ces liens :
- https://www.ipgp.fr/observation/infrastructures-nationales-hebergees/revosima/
- https://www.ipgp.fr/actualites-du-revosima/
- https://www.facebook.com/ReseauVolcanoSismoMayotte/
- https://bsky.app/profile/revosima.bsky.social

La direction de l'OVPF-IPGP, le 2 juin 2026

Institut de physique du globe
de Paris, OVPF
14 RN3 – Km 27
97418 La Plaine des Cafres
La Réunion

www.ipgp.fr/ovpf
facebook : ObsVolcanoPitonFournaise
bluesky : @ovpf.bsky.social
youtube : Chaîne IPGP

C. Annexes

Définition des niveaux d'Alerte volcanique pour le Piton de la Fournaise

(Extrait disposition spécifique « Volcan Piton de la Fournaise » - arrêté n°2242)

PREFECTURE DE LA RÉUNION	DISPOSITION SPÉCIFIQUE VOLCAN	EMZPCOI

3.2. **Les différents niveaux d'alerte**

Phase d'alerte et définition	Objectif	Actions
Vigilance : activité persistante et continue sous le massif *Situation d'activité « hors norme » sous le massif du Piton de la Fournaise à l'intérieur ou éventuellement hors de l'enclos (séismes, gonflements, etc...) . Éruption possible à moyen terme (quelques jours à plusieurs semaines) et/ou présence de risques sur le secteur (éboulements, stabilisation d'un effondrement de caldeira, augmentation des émissions gazeuses, présence de coulées de lave en cours de refroidissement, etc...)*	**Mettre en garde les services** qui seraient amenés à intervenir en cas d'éruption **Protéger les populations présentes sur le site**	- Pour le public non-accompagné : **accès à la partie haute de l'enclos possible sur les seuls sentiers balisés ouverts** - Pour le public accompagné d'un professionnel : accès à la partie haute de l'enclos possible hors des sentiers balisés **à l'exception** des zones d'exclusion (voir § 3.2.1)
Alerte 1 : éruption probable ou imminente *Détection des signes d'une activité croissante (les séismes ou déformations ou émissions gazeuses sont d'intensité « hors norme » et croissante) qui pourrait se traduire par la formation d'une fissure éruptive (sortie de lave) dans les heures ou les jours qui suivent. L'éruption n'est plus « possible » (comme en phase de vigilance) mais devient probable, voire imminente lorsque la formation d'une fissure éruptive est certaine, voire en cours.*	**Évacuer les populations présentes sur le site**	**Fermeture de l'enclos et évacuation des randonneurs** qui se trouveraient sur le site
Alerte 2 : éruption en cours, qui peut être de trois types : *Alerte 2-1 : L'éruption est située **dans l'enclos** (y compris dans le cratère Dolomieu) et ne présente **pas de menace particulière** pour la sécurité des personnes, des biens ou de l'environnement* *Alerte 2-2 : L'éruption est située **dans l'enclos** et présente une **menace directe ou indirecte pour la sécurité des personnes, des biens ou de l'environnement** (risque de coupure de la RN2, pluies acides, feux de forêt...)*	**Garantir la protection des populations, des biens et de l'environnement à proximité ou à l'extérieur du site**	Alerte 2.1 : aucune action dans l'immédiat (car accès à l'enclos déjà interdit et enclos déjà évacué). Alerte 2.2 : en cas de nécessité, activation des COP / PCO + fermeture de la RN2 + évacuation des personnes et véhicules concernés (en fonction des enjeux)
*Alerte 2-3 : L'éruption est située **hors de l'enclos** et **présente une réelle menace pour la sécurité des personnes, des biens ou de l'environnement** (impact possible sur les zones habitées).*	**Garantir la protection des populations, des biens et de l'environnement à proximité ou à l'extérieur du site**	Alerte 2.3 : activation des COP / PCO + évacuation des personnes menacées (notamment dans les zones habitées)
Sauvegarde *L'éruption est terminée, une réouverture partielle de l'enclos est possible* *Un **arrêté pour passage en phase de sauvegarde aménagé** peut être pris préalablement aux reconnaissances terrain pour permettre la réouverture de la partie basse de l'enclos uniquement, si les conditions le permettent.*	**Permettre la réouverture partielle de l'enclos en toute sécurité**	- mise en œuvre des reconnaissances préalables - définition des modalités de réouverture de l'enclos au public

Arrêté préfectoral n° 2242 du 08/11/2021	Validé par Jacques BILLANT, Préfet de La Réunion	22 / 57

Références

Altamimi, Z., Rebischung, P., Collilieux, X., Métivier, L., & Chanard, K. (2023), ITRF2020: an augmented reference frame refining the modeling of nonlinear station motions, Journal of Geodesy, 97(5), 47. https://link.springer.com/article/10.1007/s00190-023-01738-w

Arellano, S., Galle, B., Apaza, F., Avard, G., Barrington, C., Bobrowski, N., ... Yalire, M. (2020), Synoptic analysis of a decade of daily measurements of SO_2 emission in the troposphere from volcanoes of the global ground-based Network for Observation of Volcanic and Atmospheric Change, Earth System Science Data Discussions, 2020, 1-3

Bean, C., Lokmer, I., & O'Brien, G. (2008), Influence of near-surface volcanic structure on long-period seismic signals and on moment tensor inversions: Simulated examples from Mount Etna. J. Geophys. Res.: Solid Earth (1978–2012), 113(B8), 716. https://doi.org/10.1029/2007JB005468

Bénard, B., Di Muro, A., Liuzzo, M., Gurrieri, S., Boissier, P., Brunet, C. et al. (2023), Seasonal environmental controls on soil CO_2 dynamics at a high CO_2 flux sites (Piton de la Fournaise and Mayotte volcanoes), Journal of Geophysical Research: Biogeosciences, 128(6), e2023JG007409

Bertiger, W., Bar-Sever, Y., Dorsey, A., Haines, B., Harvey, N., Hemberger, D., ... & Willis, P. (2020), GipsyX/RTGx, a new tool set for space geodetic operations and research, Advances in space research, 66(3), 469-489

Boudoire, G. (2017), Architecture et dynamique des systèmes magmatiques associés aux volcans basaltiques : exemple du Piton de la Fournaise. Volcanologie, Université de la Réunion, 2017. Français. ⟨NNT : 2017LARE0022⟩. ⟨tel-01902958⟩

Duputel, Z., Lengliné, O., Ferrazzini, V. (2019), Constraining Spatiotemporal Characteristics of Magma Migration at Piton De La Fournaise Volcano From Pre-eruptive Seismicity, Geophys. Res. Lett. 46: 119-127, https://doi.org/10.1029/2018GL080895

Lomax, A., Virieux, J., Volant, P., & Berge-Thierry, C. (2000), Probabilistic earthquake location in 3D and layered models. In C. H. Thurber & N. Rabinowitz (Eds.), Advances in Seismic Event Location, Modern Approaches in Geophysics (pp. 101–134). Springer, Dordrecht, Netherlands

Murphy, D., Bertiger, W., Hemberger, D., Komanduru, A., Peidou, A., Ries, P., & Sibthorpe, A. (2024), Jet Propulsion Laboratory Analysis Center Technical Report 2024. In R. Dach & E. Bockmann (Eds.), International GNSS Service Technical Report 2024 (IGS Annual Report), IGS Central Bureau and University of Bern; Bern Open Publishing. https://doi.org/10.48350/191991

Nikkhoo, M., Walter, T. R., Lundgren, P. R., & Prats-Iraola, P. (2016), Compound dislocation models (CDMs) for volcano deformation analyses, Geophysical Journal International, 208, 877–894

Rebischung, P., Altamimi, Z., Métivier, L. et al. (2024), Analysis of the IGS contribution to ITRF2020, J Geod 98, 49. https://doi.org/10.1007/s00190-024-01870-1

SeisComP (2024), SeisComP 6 – Earthquake Monitoring Software, https://www.seiscomp

Zecevic, M., De Barros, L., Bean, C. J., O'Brien, G. S., & Brenguier, F. (2013), Investigating the source characteristics of long-period (LP) seismic events recorded on Piton de la Fournaise volcano, La Réunion. Journal of Volcanology and Geothermal Research, 258, 1–11. https://doi.org/10.1016/j.jvolgeores.2013.04.009

Institut de physique du globe de Paris, OVPF
14 RN3 – Km 27
97418 La Plaine des Cafres
La Réunion

www.ipgp.fr/ovpf
facebook : ObsVolcanoPitonFournaise
bluesky : @ovpf.bsky.social
youtube : Chaîne IPGP

Remerciements
Merci aux organismes, collectivités et associations d'afficher publiquement ce bulletin pour une diffusion la plus large possible.

Informations
Retrouvez l'ensemble des informations relatives à l'activité du Piton de la Fournaise sur les différents médias de l'OVPF-IPGP :
- le site internet : ipgp.fr/fr/ovpf/actualites-ovpf
- le compte bluesky : @ovpf.bsky.social
- le compte Facebook : facebook.com/ObsVolcanoPitonFournaise

Un bulletin automatique préliminaire d'activité de l'OVPF-IPGP, relatif aux activités de la veille, validé par un.e analyste, est publié quotidiennement. Il est accessible directement sur ce lien :
http://volcano.ipgp.fr/reunion/Bulletin_quotidien/bulletin.html

La sismicité déterminée et validée en continu par l'OVPF-IPGP peut être également suivie sur le portail RENASS : https://renass.unistra.fr/fr/zones/la-reunion

Les données de l'OVPF-IPGP sont distribuées par le centre de données de l'IPGP - Volobsis - et accessibles également sur les sites web de EPOS et Epos-France (doi:10.18715/REUNION.OVPF).

Les informations de ce document ne peuvent être utilisées sans y faire explicitement référence.

Institut de physique du globe de Paris, OVPF
14 RN3 – Km 27
97418 La Plaine des Cafres
La Réunion

www.ipgp.fr/ovpf
facebook : ObsVolcanoPitonFournaise
bluesky : @ovpf.bsky.social
youtube : Chaîne IPGP